

鉛直壁前面水域における不規則波の碎波に関する実験的研究

名古屋大学 学生員 清野 博
名古屋大学 正会員 岩田 好一朗

1. はじめに： 規則重複波の碎波限界に関する研究はこれまでにも数多く行なわれてきているが、不規則な入射波及び反射波の干渉により生じる不規則合成波の碎波限界に関する研究は、ほとんど行なわれていない。本報告では、不規則合成波の碎波実験の結果について述べる。

2. 水理実験： 実験は図-1に示す名大工木教室の2次元水槽で行なわれた。水槽口、隔壁板により2つの水路(水深 $h=38\text{cm}$)に分けられ、水路Aには反射板を設け、入射波、反射波の合成された波が生じるようにしてあり、水路Bでは、入射波がそのまま通過するようにしてある。波は、ラップ型不規則波装置で発生させ、このとき水路Aで発生する不規則合成波が碎波する瞬間を、16mmシネカメラ(50コマ/秒)で撮影し、碎波波高 H_b 、碎波波長 L_b をゼロアップクロス(ZUC)法で求めた。但しここでは、合成波におけるZUC波を図-2に示すように定義した。次に碎波の瞬間から4コマ(0.08秒)ずつフィルムを前後させて、碎波した波の波峰の移動速度 C_c を求めた。発生波は1種類であり、その統計特性は、有義波高 $H_g=9.5\text{cm}$ 、有義周期 $T_g=0.86\text{秒}$ 、スペクトルの特性は、0次モーメント $M_0=6.36\text{cm}^3$ 、スペクトルピークパラメータ $Q_p=3.45$ 、ピーク周波数 $f_p=1.13\text{Hz}$ である。なお、発生波は、反射板を取りはずした状態で、電気容量式水位計で計測したもので、スペクトルは、この水位の連続変動を、1%秒で離散化し、データ数4800、最大ラグ数80、自由度120でB-T法で計算した。

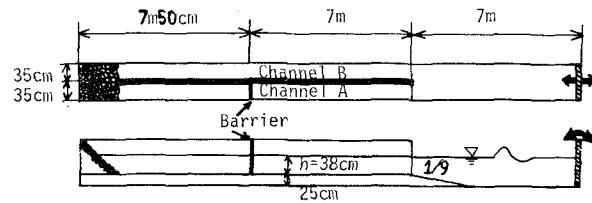


図-1 実験装置概略図

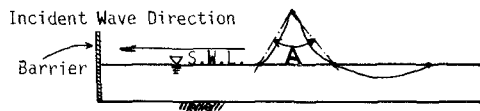


図-2 合成波におけるZUC波及び波頂角

3. 実験結果及び考察： 16mmフィルムによる解析の結果、合成波の碎波は、1) 波峰が入射波の進行方向に移動しながら碎けるもの、2) 波峰が反射波の進行方向に移動しながら碎けるもの、3) 波峰が、ほとんど1), 2) のケースのように移動せず、水粒子が鉛直方向に飛び出す形で碎けるものの3種類に分類できることがわかった。これら3種類の碎波型をここでは順に、入射波型碎波、反射波型碎波、重複波型碎波と呼ぶことにする。ここで以上の分類を定量的に評価するために、パラメータ α を式(1)で定義する。

$$\alpha = C_c/C \quad (1)$$

ここで C_c は前述した波峰の移動速度で、入射波の進行方向に波峰が移動するとときを正とする。 $C(>0)$ は、碎波した波の波長をもつ規則進行波の波速であり、Airy理論から求めた値とする。単に式(1)で定義されるだけでなく碎波型を分類することには問題があると思われるが、ここで $\alpha > 0$ のときは、重複波型碎波が、そして $\alpha < 0$ (又は $=0$)に近づくにつれて、入射波型(又は反射波型)の性

度の強い碎波が生じていると考えた。図-3に碎波した波の水深波長比 h/L_b 、波形勾配 H_b/L_b の関係を、 α をパラメータとして示した。図中の曲線は、実線が式(2)の Wiegel の規則重複波の碎波限界式と、破線が式(3)の Miche の規則進行波の碎波限界式をそれぞれ表わしている。図-3より、ある水深波長比における

$$H_b/L_b = 0.218 \tanh(2\pi h/L_b) \quad (2)$$

$$H_b/L_b = 0.142 \tanh(2\pi h/L_b) \quad (3)$$

で、 α の値が小さいものの方が、波形勾配の値は大きくなる傾向がみられる。0.8以下の波は Miche の式の下側にあり、不規則合成波には、規則進行波よりも碎波しやすいものもあることがわかる。なお今回の実験では、Wiegel の式が碎波限界の上限を与えていた。次に図-4に碎波した波の水深波長比 h/L_b 、波形勾配 H_b/L_b の関係を波頂角 $A(^{\circ})$ (図-2 参照) をパラメータとして示す。従来、重複波は波頂角が 90° で、進行波は 120° でそれぞれ碎波する事が理論的に導かれていた。ここで求めた波頂角 A は、従来の波頂角と定義が少し異なっており、直接比較することはできないが、図-4より、波頂角 A が小さくなるにつれて Wiegel の式に近づくこと、波頂角 A が $140^{\circ} \leq A < 150^{\circ}$ のものは、Miche の式よりも下方にばらついて分布する事がわかる。

4. 結論： 以上、水理実験に基づき、1) 不規則合成波の碎波には、入射波型、反射波型、重複波型の3種類の碎波があること、2) 不規則合成波の碎波限界はかなりばらつかず、波峰の移動速度、あるいは波頂角によりある程度のばらつきを説明できることがわかった。今後さらに不規則合成波の碎波限界の定量的評価について検討していく所存である。

<参考文献> 1) Wiegel, R.L.: Oceanographical Engineering, Prentice-Hall, 1964. 2) 会田・柿崎: 有限振幅重複波からみた波頂角に関する研究, 三港技術研究所報告, 1966. 3) Miche, A.: Mouvements ondulatoires de la mer en profondeur constante ou décroissante. Forme limite de la houle lors de son déferlement: Application aux digues maritimes. Ann. Ponts. et Chaussees, Tome 114. 1944. 4) Blair Kinsman: Wind Waves, Prentice-Hall, 1965.

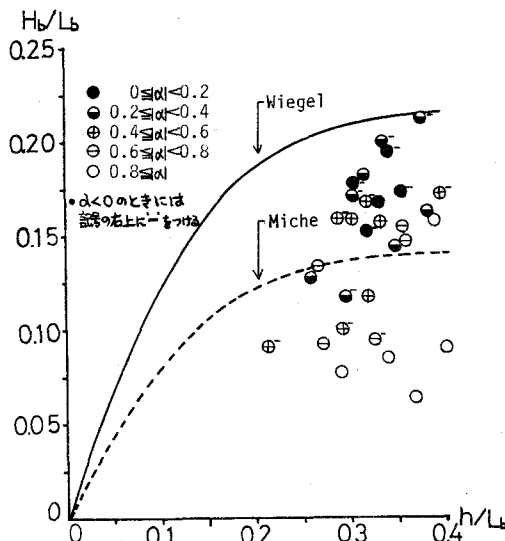


図-3 無次元波峰移動速度 α の分布

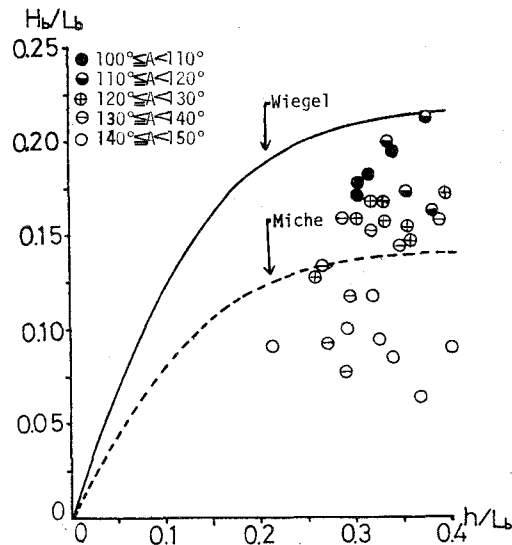


図-4 波頂角 A の分布